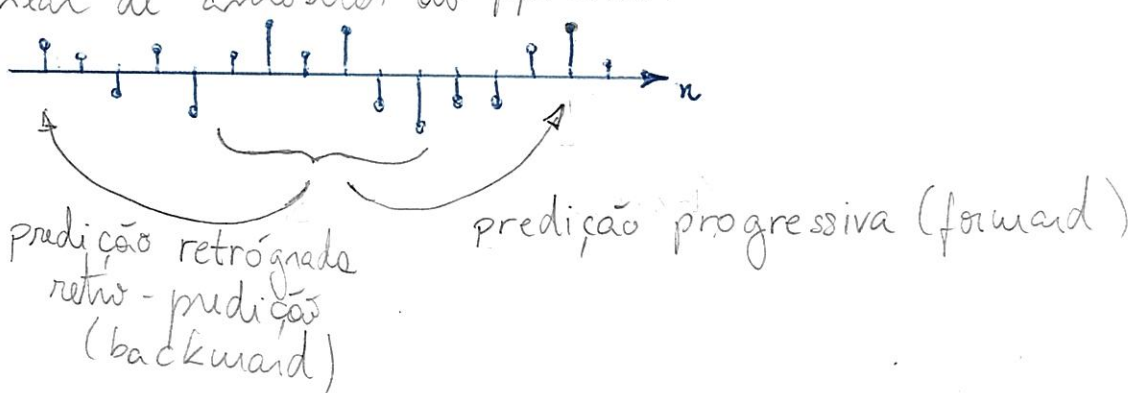


## Predição Linear

Estimar uma amostra futura ou passada a partir de uma combinação linear de amostras do processo.

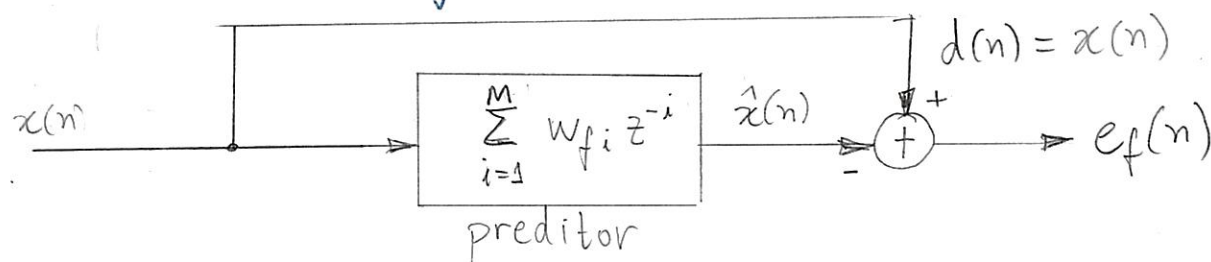


Cada amostra do processo pode ser vista como sendo composta por uma parcela dependente das amostras anteriores (posterior) e outras independentes, a parcela de inovação do processo.

Casos limites:

- não há parcela independente: processo determinístico
- não há parcela dependente: processo estocástico branco

## Predição Linear Progressiva a um passo



$$\hat{x}(n) = w_{f_1} x(n-1) + w_{f_2} x(n-2) + \dots + w_{f_M} x(n-M) = w_f^T \underline{x}(n-1)$$

Objetivo: minimizar  $E\{e_f^2(n)\}$

Observe que a formulação é equivalente à de filtragem ótima (Wiener):

	Wiener	Predictor
entrada	$\underline{x}(n)$	$\underline{x}(n-1)$
referência	$d(n)$	$x(n)$
erro	$d(n) - \underbrace{\underline{w}^T \underline{x}(n)}_{\hat{d}(n)}$	$x(n) - \underbrace{\underline{w}_f^T \underline{x}(n-1)}_{\hat{x}(n-1)}$

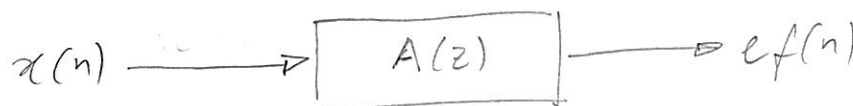
$$\underline{w}_{\text{ótimo}} = \underline{R}_x^{-1} \underline{p}_{xd} \Rightarrow \underline{w}_f^{\text{ótimo}} = \underline{R}_x^{-1} \underline{p}_{xd} \xrightarrow{\quad E \left\{ \underline{x}(n-1) \underline{x}^T(n-1) \right\} = E \left\{ x(n) \underline{x}^T(n) \right\}}$$

$$\underline{p}_{xd} = E \left\{ \underline{x}(n-1) x(n) \right\} = E \left\{ \begin{bmatrix} x(n-1) x(n) \\ x(n-2) x(n) \\ \vdots \\ x(n-M) x(n) \end{bmatrix} \right\} = \begin{bmatrix} r_x(1) \\ r_x(2) \\ \vdots \\ r_x(M) \end{bmatrix} = \underline{r}_x$$

$$\therefore \boxed{\underline{w}_f^{\text{ótimo}} = \underline{R}_x^{-1} \underline{r}_x}$$

## Filtro de Erro de Predição (passo unitário) (FEP)

Se imaginarmos um sistema cuja entrada é  $x(n)$  e a saída é o erro de predição, temos:



$$e_f(n) = x(n) - \hat{x}(n) = x(n) - \underline{w}_f^T \underline{x}(n-i) = x(n) - \sum_{i=1}^M w_{fi} x(n-i)$$

$$A(z) = 1 - \sum_{i=1}^M w_{fi} z^{-i} \Rightarrow \text{função de transferência do filtro de erro de predição}$$

$$e_f(n) = \begin{bmatrix} 1 \\ -w_{f1} \\ -w_{f2} \\ \vdots \\ -w_{fm} \end{bmatrix}^T \begin{bmatrix} x(n) \\ x(n-1) \\ x(n-2) \\ \vdots \\ x(n-M) \end{bmatrix} = \begin{bmatrix} 1 \\ -w_f \end{bmatrix}^T \underline{x}(n)$$

O FEP pode ser visto como um filtro de eliminação de redundância entre as amostras de  $x(n)$ .

### Propriedades:

i) Os coeficientes ótimos do preditor são tais que  $\frac{\partial E\{e_f^2(n)\}}{\partial w_i} = 0$

$$\frac{\partial E\{e_f^2(n)\}}{\partial w_i} = 2 E\left\{e_f(n) \cdot \frac{\partial e_f(n)}{\partial w_i}\right\} = 2 E\left\{e_f(n) \cdot \frac{\partial}{\partial w_i} \left[ x(n) - \sum_{i=1}^M w_{fi} x(n-i) \right]\right\} =$$

$$= 2 E \left\{ e_f(n) [-x(n-i)] \right\} \Rightarrow E \left\{ e_f(n) x(n-i) \right\} = 0 \quad \text{p/ } i=1, 2, \dots, M$$

Qdo  $M \rightarrow \infty$ , o FEP produz um sinal ortogonal às amostras passadas de entrada.

$$E \left\{ e_f(n) e_f(n-k) \right\} = E \left\{ e_f(n) \left[ x(n-k) - \sum_{i=1}^M w_{fi} x(n-k-i) \right] \right\} = \sum_{i=0}^M a_i E \left\{ e_f(n) x(n-(k+i)) \right\}$$

$$\underline{a} = \begin{bmatrix} 1 \\ -w_f \end{bmatrix}$$

$$= a_0 E \left\{ e_f(n) x(n-k) \right\} + a_1 E \left\{ e_f(n) x(n-(k+1)) \right\} + \dots + a_M E \left\{ e_f(n) x(n-(k+M)) \right\}$$

Mas, qdo  $M \rightarrow \infty$ ,  $E \left\{ e_f(n) x(n-j) \right\} = 0 \quad \text{s/ } j \neq 0$

$$\therefore E \left\{ e_f(n) e_f(n-k) \right\} = \begin{cases} E \left\{ e_f^2(n) \right\} = J_{\min} = r_x(0) - \underline{w}_f^\top \underline{r}_x, & k=0 \\ 0, & k \neq 0 \quad \text{e/ } k=M \end{cases}$$

Portanto, o FEP é um filtro branqueador pois sua saída tende a ser ortogonal à medida que  $M$  aumenta. No limite, qdo  $M \rightarrow \infty$ , a saída do FEP é branca.

ii) Seja  $A(z) = \sum_{k=0}^M a_k z^{-k}$  a função de transferência de um FEP e  $x_i$ ,  $i=1, \dots, M$  os zeros de  $A(z)$ . Podemos então escrever:

$$A(z) = B(z) (1 - \alpha_b z^{-1}), \quad \text{onde } \alpha_b \text{ é um dos zeros e } A(z) \text{ e } B(z) = \prod_{\substack{i=1 \\ i \neq b}}^M (1 - \alpha_i z^{-1})$$

O MSE pode ser escrito da seguinte forma:

$$E \left\{ |e_f(n)|^2 \right\} = \frac{1}{2\pi} \int_{-\pi}^{\pi} S_f(e^{j\omega}) d\omega \rightarrow \text{a área da densidade espectral de potência fornece a potência ou a variação do sinal.}$$

$$\mathbb{E}\{|e_f(n)|^2\} = \frac{1}{2\pi} \int_{-\pi}^{\pi} S_x(e^{j\omega}) \cdot |\underbrace{A(e^{j\omega})}_\text{resposta em frequência do FEP}|^2 d\omega$$

Mas  $A(e^{j\omega}) = B(e^{j\omega})(1 - \alpha_b e^{-j\omega})$ . Então

$$\mathbb{E}\{|e_f(n)|^2\} = \frac{1}{2\pi} \int_{-\pi}^{\pi} S_x(e^{j\omega}) |B(e^{j\omega})|^2 \cdot |1 - \alpha_b e^{-j\omega}|^2 d\omega$$

Expansando o zero  $\alpha_b$  em sua forma polar,  $\alpha_b = \rho_b e^{j\omega_b}$ ,

$$\mathbb{E}\{|e_f(n)|^2\} = \frac{1}{2\pi} \int_{-\pi}^{\pi} S_x(e^{j\omega}) |B(e^{j\omega})|^2 \cdot (1 - 2\rho_b \cos(\omega - \omega_b) + \rho_b^2) d\omega$$

Vamos supor que todos os parâmetros do filtro já tenham sido otimizados, exceto o módulo do "último zero",  $\rho_b$ .

Nesse caso, o valor ótimo de  $\rho_b$  é obtido por  $\frac{\partial \mathbb{E}\{|e_f(n)|^2\}}{\partial \rho_b} = 0$

$$\frac{\partial \mathbb{E}\{|e_f(n)|^2\}}{\partial \rho_b} = \frac{1}{2\pi} \int_{-\pi}^{\pi} S_x(e^{j\omega}) |B(e^{j\omega})|^2 \cdot 2(\rho_b - \cos(\omega - \omega_b)) d\omega = 0$$

$\downarrow \quad \downarrow$   
 $\geq 0 \quad \geq 0$

A única forma de anular a integral é se  $\rho_b - \cos(\omega - \omega_b)$  assumir valores positivos e negativos.

Como  $|\cos(\omega - \omega_b)| \leq 1$  e  $\rho_b \geq 0$ ,  $\rho_b < 1$  para que existam valores negativos de  $\rho_b - \cos(\omega - \omega_b)$

Esse procedimento pode ser repetido para qualquer zero do FEP, o que nos leva a concluir que todos os seus zeros têm módulo inferior a 1.

Como o FEP tem seus polos na origem e todos os seus zeros estão dentro da circunferência de raio unitário, o FEP é um sistema de fase mínima.

iii) O FEP ótimo pode ser obtido através da solução de um problema de minimização de variância com restrições (LCMV):

$$e_f(n) = \underline{a}^H \underline{x}(n)$$

$$\min E \{ |e_f(n)|^2 \} = \underline{a}^H R_x \underline{a}$$

$$\text{s.a. } \underline{C}^H \underline{a} = \underline{g}$$

no qual

$$\underline{c} = [1 \ 0 \ 0 \dots 0]^T$$

$$\underline{a} = [a_0 \ a_1 \ a_2 \ \dots \ a_M]^T$$

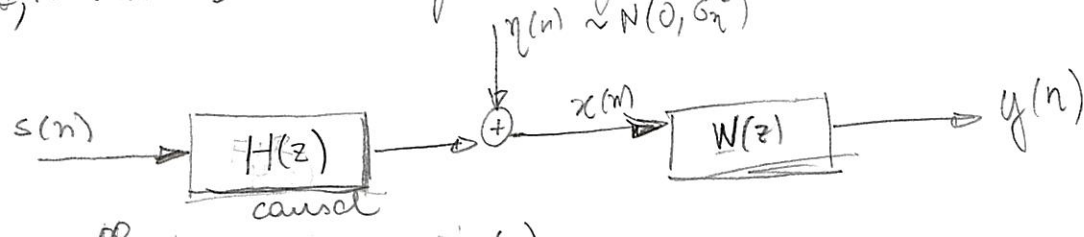
$$\underline{g} = 1$$

Neste caso, a solução ótima é dada por

$$\underline{a} = \frac{\underline{R}_x^{-1} \underline{c}}{\underline{c}^T \underline{R}_x^{-1} \underline{c}}$$

$$(w_o = \underline{R}_x^{-1} \underline{c} (\underline{c}^T \underline{R}_x^{-1} \underline{c})^{-1} \underline{g})$$

iv) Imagine que se deseja estimar um processo  $s(n)$ , WSS, com média nula, variância  $\sigma_s^2$  e composto por amostras i.i.d. (brancas)



$$x(n) = \sum_{i=0}^{\infty} h_i s(n-i) + \eta(n)$$

$$W_{\text{wiener}} = R_X^{-1} p_{xs} = R_X^{-1} \cdot \begin{bmatrix} h_0 \sigma_s^2 \\ 0 \\ \vdots \\ 0 \end{bmatrix}$$

$$\frac{W_{\text{wiener}}}{h_0 \sigma_s^2} = R_X^{-1} \cdot \begin{bmatrix} 1 \\ 0 \\ \vdots \\ 0 \end{bmatrix} = R_X^{-1} C$$

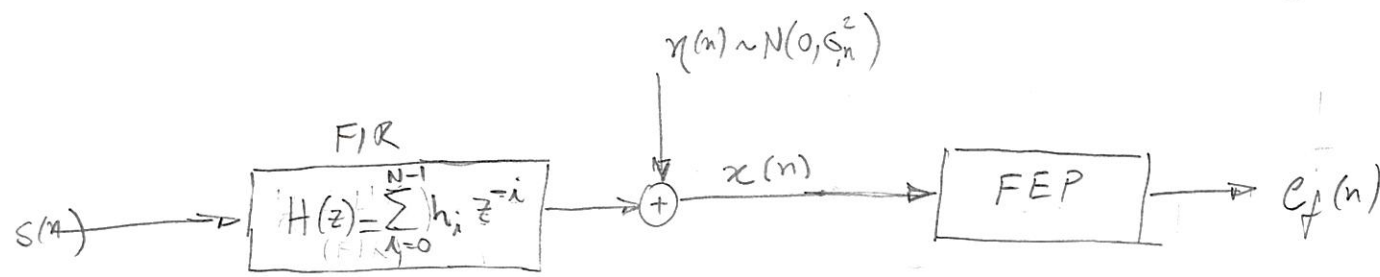
Substituindo na expressão do FEP ótimo:

$$\underline{\alpha} = \frac{\frac{W_{\text{wiener}}}{h_0 \sigma_s^2}}{C^T \frac{W_{\text{wiener}}}{h_0 \sigma_s^2}} \Rightarrow \underline{\alpha} = \frac{1}{W_{\text{wiener}}} \cdot W_{\text{wiener}}$$

Portanto, em um problema de desconvolução de um processo branco, o FEP ótimo corresponde ao filtro de Wiener normalizado pelo seu primeiro coeficiente.

\* É possível estimar o sinal  $s(n)$  de maneira não-supervisionada utilizando-se um FEP.

## Ex. 16: Equalizaçõe de canais de comunicações



i.i.d

$$\{-1; +1\}$$

equiprováveis

$$x(n) = h_0 s(n) + h_1 s(n-1) + h_2 s(n-2) + \dots + h_{N-1} s(n-N+1) + \eta(n)$$

$$x(n-1) = h_0 s(n-1) + h_1 s(n-2) + \dots + h_{N-1} s(n-N) + \eta(n-1)$$

$$x(n-M) = h_0 s(n-M) + h_1 s(n-M-1) + \dots + h_{N-1} s(n-M-N+1) + \eta(n-M)$$

O erro de predição progressivo a passo unitário é dado por:

$$e_f(n) = x(n) - w_{f1} x(n-1) - w_{f2} x(n-2) - \dots - w_{fM} x(n-M)$$

Noté que a única informação da  $s(n)$

é presente em  $x(n)$  e ausente em  $x(n-1)$ ,  $x(n-2), \dots, x(n-M)$ . É a amostra mais recente do sinal transmitido, ou seja,  $s(n)$ .

Nesse caso, o FEP consegue remover toda a redundância existente entre  $x(n)$  e  $x(n-1)$  e zero de predição residual nula

$$e_f(n) = h_0 s(n) + \eta'(n)$$

$$H(z) = 1 + 0,5z^{-1} \quad \xrightarrow{\text{Exemplo}} \quad \Rightarrow \text{zero em } z=-0,5$$

$$G_n^2 = 0,1$$

Solução de menor para através o ( $d(n) = s(n)$ ), com equalizador de 2º orden:

$$\underline{w}_w = R_x^{-1} f_{xd} \Rightarrow \begin{bmatrix} w_0 \\ w_1 \\ w_2 \end{bmatrix} = \begin{bmatrix} 1,25 + G_n^2 & 0,5 & 0 \\ 0,5 & 1,25 + G_n^2 & 0,5 \\ 0 & 0,5 & 1,25 + G_n^2 \end{bmatrix}^{-1} \begin{bmatrix} 1 \\ 0 \\ 0 \end{bmatrix} = \begin{bmatrix} 0,881 \\ -0,378 \\ 0,14 \end{bmatrix}$$

$$W(z) = 0,881 - 0,378 z^{-1} + 0,14 z^{-2}$$

$$\text{FEP ótimo de 2º orden: } A(z) = 1 - w_{f1} z^{-1} - w_{f2} z^{-2}$$

$$\underline{w}_f = R_x^{-1} f_x \Rightarrow \begin{bmatrix} w_{f1} \\ w_{f2} \end{bmatrix} = \begin{bmatrix} 1,35 & 0,5 \\ 0,5 & 1,35 \end{bmatrix}^{-1} \cdot \begin{bmatrix} 0,5 \\ 0 \end{bmatrix} = \begin{bmatrix} 0,429 \\ -0,159 \end{bmatrix}$$

$$\underline{a} = \begin{bmatrix} 1 \\ -0,429 \\ 0,159 \end{bmatrix} \quad \text{ou} \quad A(z) = 1 - 0,429 z^{-1} + 0,159 z^{-2}$$

$$\text{zeros de } W(z): \quad z_1 = 0,215 + j0,336 \quad e \quad z_2 = 0,215 - j0,336$$

$$\text{zeros de } A(z): \quad z_1 = 0,215 + j0,336 \quad e \quad z_2 = 0,215 - j0,336$$

$$\frac{\underline{w}_w}{w_0} \Rightarrow \begin{bmatrix} 1 \\ -0,429 \\ 0,159 \end{bmatrix} = \underline{a}$$

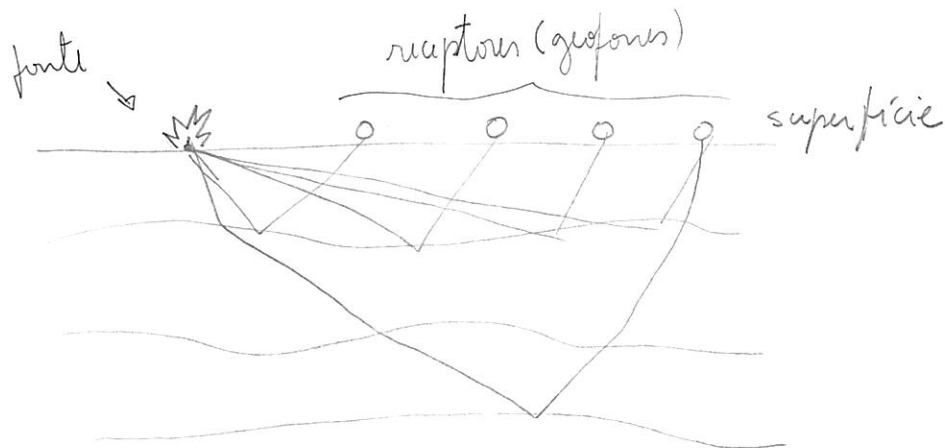
Resposta combinada canal-equalizador:

$$h \cdot H(z) W(z) = 0,881 + 0,062 z^{-1} - 0,043 z^{-2} + 0,070 z^{-3}$$

$$h \cdot H(z) W(z) = 1 - 0,215 z^{-1} - 0,062 z^{-2} + 0,070 z^{-3}$$

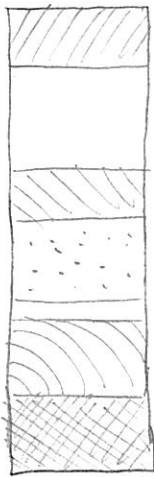
(2)

# Imagemamento Sísmico

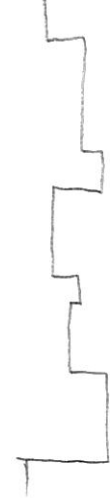


Dominio de profundidade

camadas



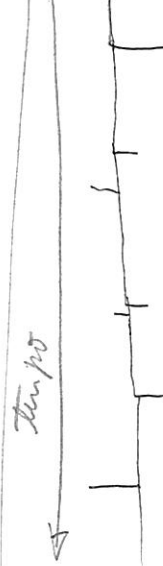
impedância acústica



coeficiente de reflexão



função reflectividade



tempo

$n(n)$

Dominio temporal.



$$\text{fonte} + ruído = \text{trago}$$



$r(n)$   
i.i.d.

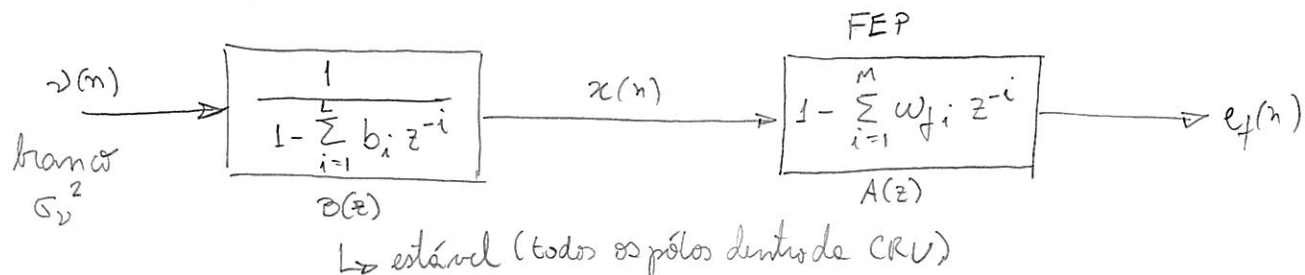
wavelet  
 $w(n)$

$\eta(n)$

$t(n)$

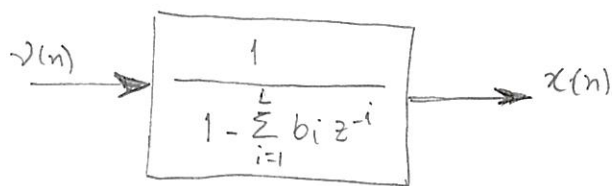
# Predição Linear e Análise de Sinais.

## a) Predição de um sinal AR

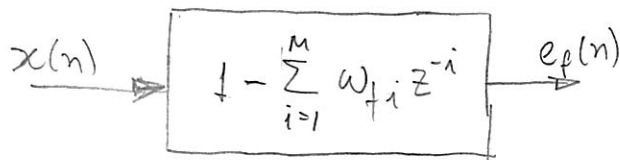


- Se  $M < L$ ,  $e_f(n)$  é correlacionado pois não há zeros suficientes para cancelar os pólos em  $B(z)$ .
- Se  $M = L$ ,  $w_{fi} = b_i$  e  $e_f(n) = v(n)$ , os zeros cancelam os pólos.
- Se  $M > L$ ,  $w_{fi} = b_i$  para  $i = 1, 2, \dots, L$  e  $w_{fi} = 0$  para  $i = L+1, \dots, M$ .

A predição linear pode ser usada como um método de análise de um sinal aleatório que pressupõe que o sinal se comporta como um modelo auto-regressivo.

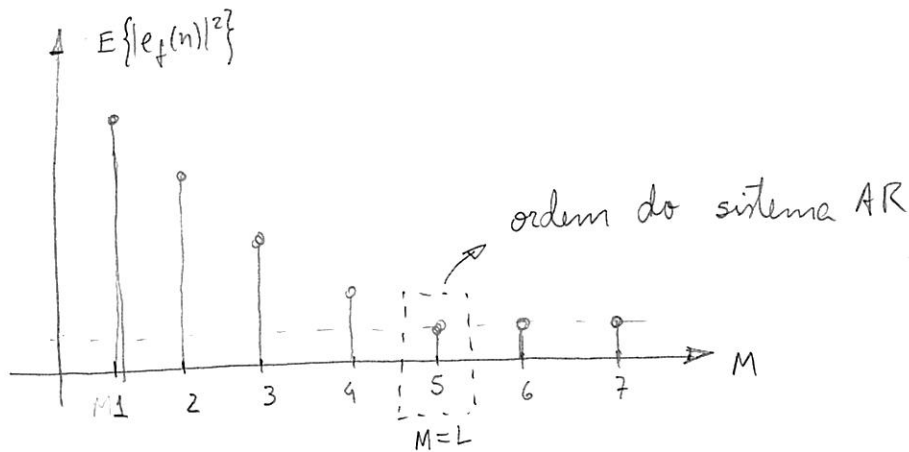


é chamado de filtro de síntese pois gera um processo AR a partir de um sinal branco.



é chamado de filtro de análise pois a partir dele é possível identificar o processo AR que gera  $x(n)$ .

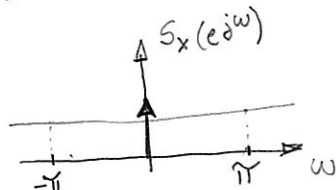
No processo de identificação do processo AR, a ordem  $M$  do FEP deve ser aumentada até o erro quadrático médio de predição esperar diminuir. Nessa situação,  $e_f(n)$  é branco



Caso essa condição não ocorra, o sinal  $x(n)$  não é gerado por um modelo AR e o FEP constitui uma aproximação AR do sistema original. Nesse caso, quanto maior  $M$ , mais  $e_f(n)$  tende a um ruído branco.

b) Predição de um sinal composto por raios espectrais

Comencemos analisando um exemplo simples:  $x(n) = 1 + v(n)$   
branco,  $\sigma_v^2$



$$\text{FEP: } A(z) = 1 - \omega_{f1} z^{-1}$$

$$\text{Preditor ótimo: } \omega_{f1} = \frac{r_v(1)}{r_x(0)} = \frac{E\{x(n)x(n-1)\}}{E\{x(n)x(n)\}} = \frac{E\{(1+v(n))(1+v(n-1))\}}{E\{(1+v(n))^2\}} = \frac{1}{1+\sigma_v^2}$$

$$\text{Assim: } A(z) = 1 - \left(\frac{1}{1+\sigma_v^2}\right) z^{-1}$$

Se  $\sigma_v^2 = 0$ ,  $x(n)$  é uma constante: apenas uma amostra é necessária para prever o sinal com erro nulo. Nesse caso,  $A(z) = 1 - z^{-1}$  possui um zero no círculo de raio unitário, que indica que na frequência  $2k\pi$  o FEP

À medida que  $\zeta_y^2$  aumenta,  $\omega_{f1}$  diminui e o zero ceminha na direção da origem. Quando  $\zeta_y^2 \rightarrow \infty$ ,  $A(z) = 1$ , ou seja, o zero de predição é o próprio sinal  $x(n)$ .

Suponha agora que  $x(n) = \sqrt{2} \cos(n\omega_0 + \phi) + v(n)$ , em que  $\phi$  é uma V.A. uniforme  $\in (0, 2\pi)$

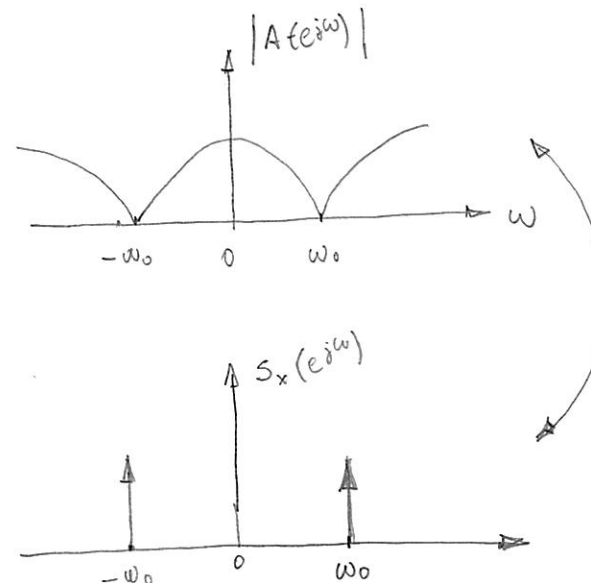
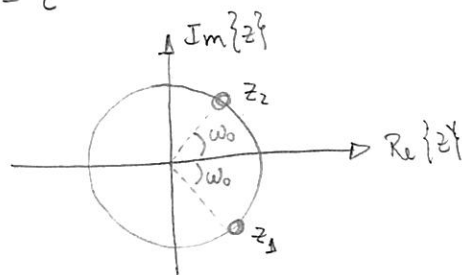
$$FEP: A(z) = 1 - \omega_{f1} z^{-1} - \omega_{f2} z^{-2}$$

$$\text{Coeficientes ótimos: } \omega_{f1} = 2 \cos \omega_0 \frac{\sin^2 \omega_0 + \zeta_y^2 / 2}{\sin^2 \omega_0 + \zeta_y^2 (2 + \zeta_y^2)}$$

$$\omega_{f2} = -1 + \frac{\zeta_y^2 (1 + \zeta_y^2 + 2\omega_0^2)}{(1 + \zeta_y^2)^2 - \omega_0^2}$$

$$- \text{Se } \zeta_y^2 = 0 \Rightarrow \omega_{f1} = 2 \cos \omega_0 \quad \text{e} \quad \omega_{f2} = -1$$

Neste caso,  $A(z) = 1 - 2 \cos \omega_0 z^{-1} + z^{-2}$ , cujas raízes são  $z_1 = e^{j\omega_0}$  e  $z_2 = e^{-j\omega_0}$



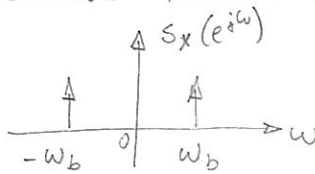
Densidade espectral de potência  
de  $\sqrt{2} \cos(n\omega_0 + \phi)$

O FEP anula  
perfeitamente  
as raízes presentes  
no sinal de entrada

Vimos anteriormente que podemos expressar o MSE de predição como:

$$E\{|e_f(n)|^2\} = \frac{1}{2\pi} \int_{-\pi}^{\pi} S_x(e^{j\omega}) |B(e^{j\omega})|^2 \cdot (1 - 2\rho_b \cos(\omega - \omega_b) + \rho_b^2) d\omega$$

- Se  $\alpha_b$  é um zero no CRU,  $\rho_b = 1$
- O termo  $(1 - 2\rho_b \cos(\omega - \omega_b) + \rho_b^2) = 2 - 2 \cos(\omega - \omega_b)$  só se anula em  $\omega = \omega_b$ . A integral, ou seja,  $E\{|e_f(n)|^2\}$ , só se anula se  $S_x(e^{j\omega})$  for composto de raízes espectrais situadas exatamente em  $|\omega| = \omega_b$ :

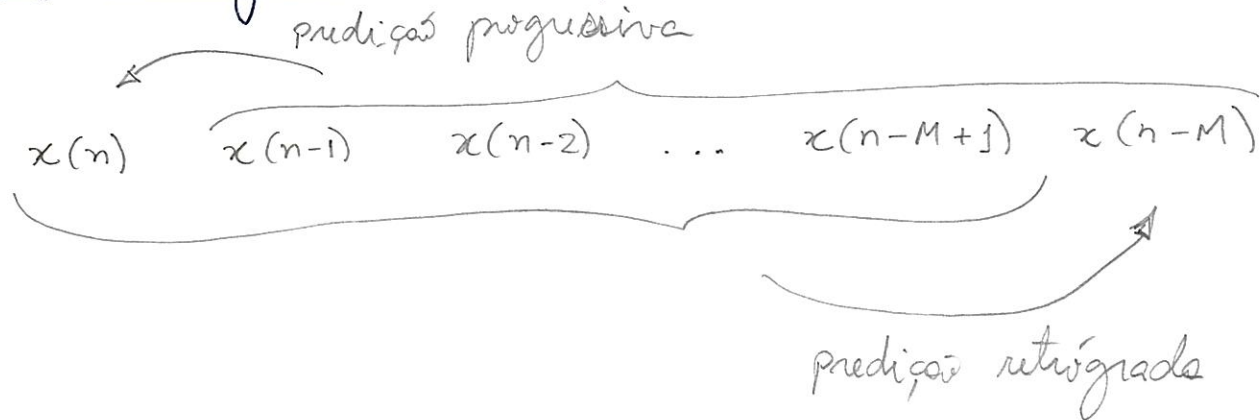


### Observação:

\* O FEP funciona como um dispositivo de análise do sinal de entradas  $x(n)$ . Se  $x(n)$  tiver um espectro discreto (composto de raízes), então, caso tenha ordem suficiente, o FEP traçará todos os seus zeros sobre o CRU (Círculo de Raio Unitário) nas frequências das raízes. Nesse caso o erro é nulo e  $x(n)$  é dito regular. Se, por outro lado,  $x(n)$  possuir um espectro contínuo para  $\omega \in (-\pi, \pi)$ , então, caso tenha ordem suficiente, o preditor não consegue o sinal. Nesse caso,  $x(n)$  é dito um sinal irregular.

\* Em qualquer caso de  $x(n)$  regular, o FEP sempre analisa o sinal pelo método, i.e., segundo a hipótese, do modelo AR, mas somente quando de fato  $x(n)$  for um processo AR é que ele consegue conseguir.

# Predicções Retrógrada de passo unitário



A predição retrograda linear consiste em estimar um valor passado do processo  $x(n)$  a partir de uma combinação linear de amostras mais recentes do processo. No caso específico de passo de predição unitário, deseja-se uma estimativa de  $x(n-M)$  a partir de  $x(n), x(n-1), \dots, x(n-M+1)$ :

$$\hat{x}(n-M) = \underline{w}_b^T \underline{x}(n)$$

em que:

$$\underline{x}(n) = [x(n) \ x(n-1) \ \dots \ x(n-M+1)]^T$$

$$\underline{w}_b = [w_{b0} \ w_{b1} \ \dots \ w_{bM-1}]^T$$

O erro da predição retrograda é dado por

$$e_b(n) = x(n-M) - \hat{x}(n-M) \Rightarrow e_b(n) = x(n-M) - \underline{w}_b^T \underline{x}(n)$$

Minimizando  $E\{|e_b(n)|^2\}$ , caímos no mesmo cenário de filtragem ótima com  $d(n) = x(n-M)$ . Então:

$$\underline{w}_{b\text{ ótimo}} = R_x^{-1} \underline{r}_x^B \quad \text{em que}$$

$$\underline{r}_x^B = E\{\underline{x}(n) \underline{x}(n-M)\} = \begin{bmatrix} r_x(n) \\ r_x(n-1) \\ \vdots \\ r_x(1) \end{bmatrix}$$

$$\text{Nota que } \underline{w}_t = \begin{bmatrix} 0 & \dots & 0 \\ 0 & \dots & 1 \\ \vdots & \ddots & \vdots \end{bmatrix} \cdot \underline{w}_b$$

# Filtro de Erro de Predição Retrógrado de passo unitário

$$e_b(n) = x(n-M) - \sum_{i=0}^{M-1} w_{bi} x(n-i) = \sum_{i=0}^M u_i x(n-i)$$

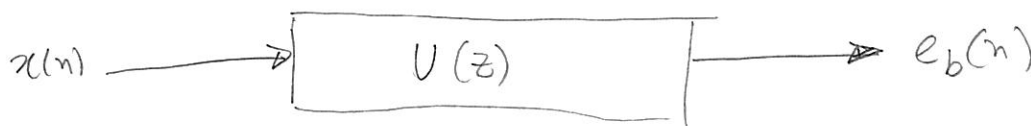
em que:  $u_i = \begin{cases} -w_{bi}, & i=0, 1, \dots, M-1 \\ 1, & i=M \end{cases}$

$$e_b(n) = \underline{u}^T \underline{x}(n), \text{ onde } \underline{x}(n) = [x(n) \ x(n-1) \ \dots \ x(n-M)]^T$$

$$\underline{u} = [-\underline{w}_b^T \ 1]^T$$

Função de transferência:

$$U(z) = \sum_{i=0}^M u_i z^{-i} = \left( \sum_{i=0}^{M-1} -w_{bi} z^{-i} \right) + z^{-M}$$



## Propriedades

- i) O FEP retrógrado de passo unitário é um filtro brinquedo
- ii) Os zeros do FEP retrógrado têm módulo maior ou igual à unidade, ou seja, é um filtro de fase máxima
- iii) Formulando a otimização do FEP retrógrado como um problema de minimização de variância com restrições lineares, temos:

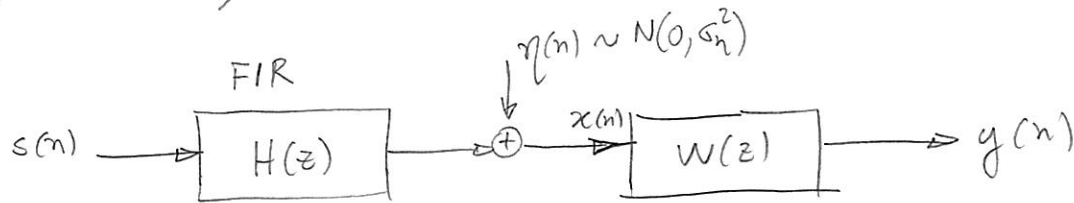
$$\min E\{|e_b(n)|^2\} = \underline{u}^H R_x \underline{u}$$

s.a.  $\underline{u}_M = 1 \Rightarrow \underbrace{[0 0 \dots 0 1]}_C^T \underline{u} = 1$

$$\underline{u} = \frac{\underline{R}_x \underline{C}}{\underline{C}^T \underline{R}_x^{-1} \underline{C}}$$

com  $\underline{u} = \begin{bmatrix} -w_{b0} \\ -w_{b1} \\ \vdots \\ -w_{bM-1} \\ 1 \end{bmatrix}$   $\underline{x}(n) = \begin{bmatrix} x(n) \\ x(n-1) \\ \vdots \\ x(n-M) \end{bmatrix}$

Imagine que se deseja estimar um processo  $s(n)$ , WSS, com média nula, variância  $\sigma_s^2$  e composto por amostras i.i.d. (processo branco)



$$x(n) = \sum_{i=0}^{N-1} h_i s(n-i) + \eta(n)$$

Estimar  $s(n)$  com ato no máximo a partir de  $\underline{x}(n) = [x(n) \ x(n-1) \ \dots \ x(n-M)]^T$

$$\underline{x}(n-M) = h_0 s(n-M) + \dots + h_{N-1} \underbrace{s(n-M-N+1)}_{\text{atô no máximo}} + \eta(n-M)$$

atô no máximo  $(M+N-1)$

$$d(n) = s(n-(M+N-1))$$

$$\underline{W}_w = \underline{R}_x^{-1} P_{xd} = \underline{R}_x^{-1} E\{ \underline{x}(n) s(n-(M+N-1)) \} = \underline{R}_x^{-1} \begin{bmatrix} 0 \\ 0 \\ \vdots \\ 0 \\ h_{N-1} \sigma_s^2 \end{bmatrix} = \underline{R}_x^{-1} \underline{C} \cdot h_{N-1} \sigma_s^2$$

com  $\underline{x}(n) = [x(n) \ x(n-1) \ \dots \ x(n-M)]^T$

$$\underline{W}_w = [W_{w_0} \ W_{w_1} \ \dots \ W_{w_M}]^T$$

$$\rightarrow \underline{R}_x^{-1} \underline{C} = \frac{\underline{W}_w}{\sigma_s^2}$$

Substituindo na expressão dos coeficientes ótimos do FEP:

$$\underline{w} = \frac{\underline{W}_w}{h_{N-1} G_s^2} \quad \Rightarrow \quad \boxed{\underline{w} = \frac{\underline{W}_w}{W_{wM}}}$$

Portanto, o FEP retrogrado de passo unitário é equivalente ao filtro de Wiener de <sup>atraso máximo de</sup> mesma ordem, normalizado pelo seu último coeficiente. Isto significa que o FEP realiza uma estimativa não-supervisionada de  $s(n-(N-n))$  com um fator de escala  $\frac{1}{W_{wM}}$ .

Relação entre o MMSE retrogrado e MMSE progressivo

$$\text{MMSE Wiener: } J_{\min} = G_d^2 - \underline{W}^T P_{xd} = G_d^2 - P_{xd}^T \underline{W}$$

$$\text{MMSE predição progressiva: } (d(n) = x(n))$$

$$E\{|e_f(n)|^2\} = r_x(0) - \underline{r}_x^T \underline{W}_f = P$$

$$\text{MMSE predição retrogrado: } (d(n) = x(n-M))$$

$$E\{|e_b(n)|^2\} = r_x(0) - (\underline{r}_x^B)^T \underline{W}_b = r_x(0) - \begin{bmatrix} r_x(M) \\ \vdots \\ r_x(1) \end{bmatrix}^T \underbrace{\begin{bmatrix} w_{b0} \\ \vdots \\ w_{bM-1} \end{bmatrix}}_{\begin{bmatrix} 0 & \cdots & 1 \\ \vdots & \ddots & 0 \\ 0 & \cdots & 0 \end{bmatrix} \underline{W}_f} = r_x(0) - \begin{bmatrix} r_x(1) \\ \vdots \\ r_x(M) \end{bmatrix}^T \underbrace{\begin{bmatrix} w_{bM-1} \\ \vdots \\ w_{b0} \end{bmatrix}}_{\underline{W}_f}$$

$$= r_x(0) - \underline{r}_x^T \underline{W}_f = P$$

Portanto, o MMSE retrogrado e o MMSE progressivo têm o mesmo valor para preditores de mesma ordem.

## Algoritmo de Levinson-Durbin

Trata-se de um método para computar os coeficientes do FEP e a potência do erro de previsão, o qual resolve as equações de Yule-Walker de maneira recursiva, tirando proveito da estrutura Toeplitz da matriz de autocorrelação  $R_x$ .

O algoritmo apresenta ordem de complexidade proporcional ao quadrado da ordem da matriz de autocorrelação. Algoritmos gerais de resolução de sistemas de equações lineares, como o método de eliminação de Gauss-Jordan, apresentam ordem de complexidade proporcional ao cubo da ordem da matriz de autocorrelação.

IDEIA: Obter o preditor ótimo de  $M$  coeficientes a partir do preditor ótimo de  $M-1$  coeficientes.

Ponto de partida:

- A solução do preditor progressivo ótimo satisfaz as equações de Wiener-Hopf para o caso em que  $d(n)=x(n)$ . Isto significa que

$$R_x^{(m)} \underline{w}_f^{(m)} = \underline{r}_x^{(m)} \rightarrow \underline{r}_x^{(m)} = \begin{bmatrix} r_x(1) \\ r_x(2) \\ \vdots \\ r_x(m) \end{bmatrix}$$

(O índice  $(m)$  denota a ordem das entidades envolvidas.)

- O MMSE do preditor é exatamente o valor do MSE avaliado na solução ótima (Wiener). No tópico anterior, vimos que

$$J_{\min} = \sigma_d^2 - \underline{w}^T f_x d.$$

No contexto de predições ( $d(n)=x(n)$ ),  $E\{|e_f^{(m)}|^2\} = P_m = r_x(0) - (\underline{r}_x^{(m)})^T \underline{w}_f^{(m)}$

Podemos combinar as equações de Wiener-Hopf e a equação de MMSE de predição em um único sistema:

$$(1) \quad \begin{bmatrix} r_x(0) & (\underline{r}_x^{(m-1)})^T \\ \underline{r}_x^{(m-1)} & R_x^{(m-1)} \end{bmatrix} \begin{bmatrix} 1 \\ -\underline{w}_f^{(m-1)} \end{bmatrix} = \begin{bmatrix} P_{m-1} \\ \underline{0}^{(m-1)} \end{bmatrix}$$

Que é equivalente a  $R_x^{(m)} \cdot \begin{bmatrix} 1 \\ -\underline{w}_f^{(m-1)} \end{bmatrix} = \begin{bmatrix} P_{m-1} \\ \underline{0}^{(m-1)} \end{bmatrix}$

Ao acrescentar mais uma equação ao sistema, temos a matriz aumentada:

$$(2) \quad \begin{bmatrix} R_x^{(m)} & \vdots & \underline{r}_{XB}^{(m)} \\ \cdots & \vdots & -\underline{w}_f^{(m-1)} \\ (\underline{r}_{XB}^{(m)})^T & \vdots & 0 \end{bmatrix} \begin{bmatrix} 1 \\ -\underline{w}_f^{(m-1)} \\ \vdots \\ 0 \end{bmatrix} = \begin{bmatrix} P_{m-1} \\ \underline{0}^{(m-1)} \\ \vdots \\ \Delta_m \end{bmatrix} \Rightarrow R_x^{(m+1)} \cdot \begin{bmatrix} 1 \\ -\underline{w}_f^{(m-1)} \\ \vdots \\ 0 \end{bmatrix} = \begin{bmatrix} P_{m-1} \\ \underline{0}^{(m-1)} \\ \vdots \\ \Delta_m \end{bmatrix}$$

em que:

$$\underline{r}_{XB}^{(m)} = [r_x(m) \ r_x(m-1) \ \dots \ r_x(1)]^T$$

$$\Delta_m = (\underline{r}_{XB}^{(m)})^T \begin{bmatrix} 1 \\ -\underline{w}_f^{(m-1)} \end{bmatrix} \quad (3)$$

Segundo o mesmo raciocínio, é possível chegar aos seguintes resultados para o preditor retrogrado de passo unitário:

$$(4) \quad \underbrace{\begin{bmatrix} R_x^{(m-1)} & \underline{r}_{XB}^{(m-1)} \\ (\underline{r}_{XB}^{(m-1)})^T & r_x(0) \end{bmatrix}}_{R_x^{(m)}} \begin{bmatrix} -\underline{w}_b^{(m-1)} \\ 1 \end{bmatrix} = \begin{bmatrix} \underline{0}^{(m-1)} \\ P_{m-1} \end{bmatrix}$$

$$R_x^{(m)} \cdot \begin{bmatrix} -\underline{w}_b^{(m-1)} \\ 1 \end{bmatrix} = \begin{bmatrix} \underline{0}^{(m-1)} \\ P_{m-1} \end{bmatrix}$$

$$(5) \quad \begin{bmatrix} \underline{r}_x(0) & (\underline{r}_x^m)^T \\ \vdots & \vdots \\ \underline{r}_x^m & R_x^{(m)} \end{bmatrix} \begin{bmatrix} 0 \\ -\underline{w}_b^{(m-1)} \\ \vdots \\ 1 \end{bmatrix} = \begin{bmatrix} -\Delta m \\ 0^{(m-1)} \\ P_{m-1} \end{bmatrix} \Rightarrow R_x^{(m+1)} \begin{bmatrix} 0 \\ -\underline{w}_b^{(m-1)} \\ \vdots \\ 1 \end{bmatrix} = \begin{bmatrix} \Delta m \\ 0 \\ P_{m-1} \end{bmatrix}$$

Multiplicando a equação (5) por  $k_m \triangleq \frac{\Delta m}{P_{m-1}}$

$$(6) \quad R_x^{(m+1)} \begin{bmatrix} 0 \\ k_m \begin{bmatrix} -\underline{w}_b^{(m-1)} \\ \vdots \\ 1 \end{bmatrix} \end{bmatrix} = \begin{bmatrix} k_m^2 \cdot P_{m-1} \\ 0^{(m-1)} \\ \Delta m \end{bmatrix}$$

Fazendo (2)-(6) :

$$(7) \quad R_x^{(m+1)} \begin{bmatrix} 1 \\ -\underline{w}_f^{(m-1)} + k_m \underline{w}_b^{(m-1)} \\ -k_m \end{bmatrix} = \begin{bmatrix} (1 - k_m^2) P_{m-1} \\ 0^{(m-1)} \\ 0 \end{bmatrix}$$

Pegando a equação (1) para a ordem  $(m+1)$ , temos  $R_x^{(m+1)} \begin{bmatrix} 1 \\ -\underline{w}_f^{(m)} \end{bmatrix} = \begin{bmatrix} P_m \\ 0 \end{bmatrix}$ .

Igualando termo a termo com a equação (7), chegamos a:

$$(8) \quad \underline{w}_f^{(m)} = \begin{bmatrix} \underline{w}_f^{(m-1)} \\ 0 \end{bmatrix} - k_m \begin{bmatrix} \underline{w}_b^{(m-1)} \\ -1 \end{bmatrix}$$

$$(9) \quad P_m = (1 - k_m^2) P_{m-1}$$

Como  $\underline{w}_b^{(m-1)} = \begin{bmatrix} 0 & \dots & 0 & 1 \\ \vdots & \ddots & \vdots & 0 \\ 0 & \dots & 0 & 1 \end{bmatrix} \underline{w}_f^{(m-1)}$ , podemos abrir a equação (8) na forma escalar:

$$\underline{w}_{fi}^{(m)} = \begin{cases} \underline{w}_{fi}^{(m-1)} - k_m \underline{w}_{-i}^{(m-1)}, & i = 1, \dots, m-1 \\ k_m & i = m \end{cases}$$

Finalmente, pegando a 1<sup>a</sup> linha da equação (6):

$$[r_x(0) \dots r_x(m)] \cdot \begin{bmatrix} 0 \\ k_m \begin{bmatrix} -w_b^{(m-1)} \\ 1 \end{bmatrix} \end{bmatrix} = k_m^2 P_{m-1}$$

$$-k_m r_x(1) w_{f,m-1}^{(m-1)} - k_m r_x(2) w_{f,m-2}^{(m-1)} - \dots - k_m r_x^{(m-1)} w_{f,1}^{(m-1)} + k_m r_x(m) = k_m^2 P_{m-1}$$

Logo:

$$k_m = \frac{1}{P_{m-1}} \left[ r_x(m) - \sum_{i=1}^{m-1} w_{fi}^{(m-1)} r_x(m-i) \right] \quad (11)$$

Estabelecidos estes relações, podemos apresentar o algoritmo de Levinson-Durbin:

Entradas: elementos de autocorrelação  $r_x(0), r_x(1), \dots, r_x(M)$

Condição inicial:  $P_0 = E\{|e_f(n)|^2\} = r_x(0)$

Para  $m = 1, 2, \dots, M$ , faça:

$$1) k_m = \frac{1}{P_{m-1}} \left[ r_x(m) - \underbrace{\sum_{i=1}^{m-1} w_{fi}^{(m-1)} r_x(m-i)}_{\text{na primeira iteração, este termo é nulo}} \right]$$

$$2) w_{fi}^m = \begin{cases} w_{fi}^{(m-1)} - k_m w_{f,m-i}^{(m-1)}, & \text{p/ } i = 1, 2, \dots, m-1 \\ k_m, & \text{p/ } i = m \end{cases}$$

$$3) P_m = P_{m-1} (1 - k_m^2) \quad (|k_m| \leq 1)$$

Ao término da  $M$ -ésima iteração, obtem-se o preditor progressivo de ordem  $M$ ,  $\underline{w}_f^{(M)} = [w_{f1} \ w_{f2} \ \dots \ w_{fM}]^T$

O preditor retroativo pode ser obtido fazendo-se:  $\underline{w}_b^{(m)} = [w_{fm} \ w_{f,m-1} \ \dots \ w_{f1}]^T$

## Predição Linear em Treliça

Erro de predição progressiva a passo unitário:

$$e_f^{(m)}(n) = \underline{x}(n) - (\underline{w}_f^{(m)})^T \underline{x}^{(m)}(n-1) \quad (12)$$

Erro de predição retrogrado a passo unitário:

$$e_b^{(m)}(n) = \underline{x}(n-m) - (\underline{w}_b^{(m)})^T \underline{x}^{(m)}(n) \quad (13)$$

Resolvendo a equação (8) para ordem  $m+1$ :

$$\underline{w}_f^{(m+1)} = \begin{bmatrix} \underline{w}_f^{(m)} \\ 0 \end{bmatrix} - k_{m+1} \begin{bmatrix} \underline{w}_b^{(m)} \\ -1 \end{bmatrix} \quad (14)$$

Substituindo esse resultado na equação (12) para ordem  $m+1$ :

$$e_f^{(m+1)}(n) = \underline{x}(n) - [\underline{w}_f^{(m+1)}]^T \underline{x}^{(m+1)}(n-1)$$

$$e_f^{(m+1)}(n) = \underline{x}(n) - \underbrace{\begin{bmatrix} \underline{w}_f^{(m)} \\ 0 \end{bmatrix}}_{\underline{e}_f^{(m)}(n)}^T \underline{x}^{(m+1)}(n-1) + k_{m+1} \underbrace{\begin{bmatrix} -\underline{w}_b^{(m)} \\ 1 \end{bmatrix}}_{\underline{e}_b^{(m)}(n-1)}^T \underline{x}^{(m+1)}(n-1)$$

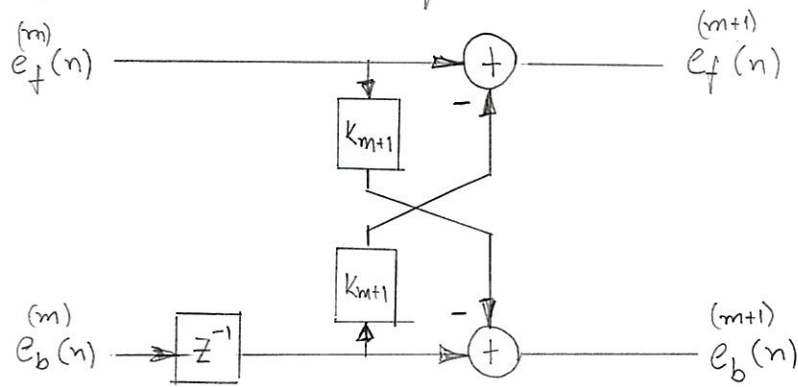
Portanto,

$$\boxed{e_f^{(m+1)} = e_f^{(m)} - k_{m+1} e_b^{(m)}(n-1)}$$

Usando a equação do erro retrogrado, obtemos:

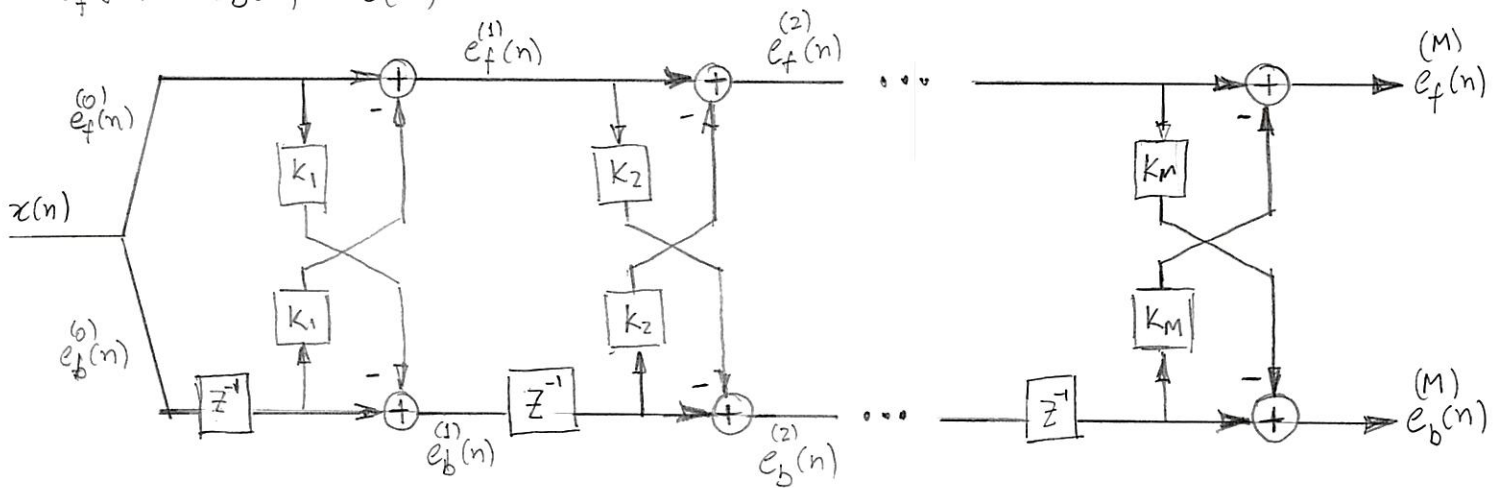
$$\boxed{e_b^{(m+1)} = e_b^{(m)}(n-1) - k_{m+1} e_f^{(m)}(n)}$$

Essas equações podem ser representadas a partir do seguinte diagrama:



Concatenando blocos destes tipos, obtemos uma estrutura em treliça que calcula os erros de predição progressiva e retrograda de ordem  $M$ :

$$e_f^{(0)}(n) = e_b^{(0)}(n) = x(n)$$



Note que

$$k_m = \frac{1}{P_{m-1}} \left[ r_{xy}(m) - \sum_{i=1}^{m-1} w_{fi} r_x(m-i) \right] = \frac{\overbrace{E \left\{ \left( x(n) - \sum_{i=1}^{m-1} w_{fi} x(n-i) \right) x(n-m) \right\}}^{(m-1) e_f(n)}}{E \left\{ |e_f(n)|^2 \right\}}$$

$$k_m = \frac{E \left\{ e_f(n) x(n-m) \right\}}{E \left\{ |e_f(n)|^2 \right\}}$$

Os coeficientes  $k_m$  são conhecidos como coeficientes de correlação parcial.

## Predicção Progressiva a passo arbitrário

Estimar  $x(n)$  a partir de  $x(n-L), x(n-L-1), \dots, x(n-L-M+1)$ , com  $L=1, 2, \dots$  sendo o passo de predição.

$$\hat{x}(n) = w_{f0} x(n-L) + w_{f1} x(n-L-1) + \dots + w_{fM-1} x(n-L-M+1)$$

$$= \sum_{i=0}^{M-1} w_{fi} x(n-L-i) = \begin{bmatrix} w_{f0} \\ \vdots \\ w_{fM-1} \end{bmatrix}^T \cdot \begin{bmatrix} x(n-L) \\ \vdots \\ x(n-L-M+1) \end{bmatrix} = \underline{w}_f^T \underline{x}(n-L)$$

### Predictor ótimo:

$$\underline{w}_f = E\left\{\underline{x}(n-L) \cdot \underline{x}^T(n-L)\right\}^{-1} E\left\{\underline{x}(n-L) x(n)\right\} = \boxed{\underline{R}_x^{-1} \underline{r}_x(L)}$$

em que  $\underline{r}_x(L) = \begin{bmatrix} r_x(L) \\ r_x(L+1) \\ \vdots \\ r_x(L+M-1) \end{bmatrix}$

### Erro de predição:

$$e_f(n) = x(n) - \hat{x}(n) = x(n) - \underline{w}_f^T \underline{x}(n-L)$$

Considerando o vetor  $\underline{x}(n) = [x(n) \ x(n-1) \ \dots \ x(n-L) \ \dots \ x(n-L-M+1)]^T$ :

$$e_f(n) = \underbrace{\begin{bmatrix} 1 & 0 & 0 & \dots & 0 & 0 \end{bmatrix}}_{L-1 \text{ zeros}} - \underline{w}_f^T \underline{x}(n) \Rightarrow e_f(n) = \underline{a}^T \underline{x}(n)$$

$$x(n) \xrightarrow[\substack{\text{FEP} \\ A(z)}]{} e_f(n) \quad A(z) = 1 - w_{f0} z^{-L} - \dots - w_{fM-1} z^{-L-M+1}$$

## Predição Retregresso a passo arbitrário

Estimar  $x(n-L-M+1)$  a partir de  $x(n), x(n-1), \dots, x(n-M+1)$ , com  $L=1, 2, \dots$  sendo o passo de predição

$$\begin{aligned}\hat{x}(n-L-M+1) &= w_{b_0}x(n) + w_{b_1}x(n-1) + \dots + w_{b_{M-1}}x(n-M+1) \\ &= \sum_{i=0}^{M-1} w_{bi}x(n-i) = \begin{bmatrix} w_{b_0} \\ w_{b_1} \\ \vdots \\ w_{b_{M-1}} \end{bmatrix}^T \begin{bmatrix} x(n) \\ x(n-1) \\ \vdots \\ x(n-M+1) \end{bmatrix} = \underline{w}_b^T \underline{x}(n)\end{aligned}$$

Preditor ótimo:

$$\underline{w}_b = E\left\{\underline{x}(n)\underline{x}(n)^T\right\}^{-1} E\left\{\underline{x}(n)x(n-L-M+1)\right\} = \underline{R}_{\underline{x}}^{-1} \cdot \underbrace{\begin{bmatrix} r_x(L+M-1) \\ r_x(L+M-2) \\ \vdots \\ r_x(L) \end{bmatrix}}_{\underline{r}_x^B(L)} =$$

$$\boxed{\underline{w}_b = \underline{R}_{\underline{x}}^{-1} \underline{r}_x^B(L)}$$

Erro de Predição

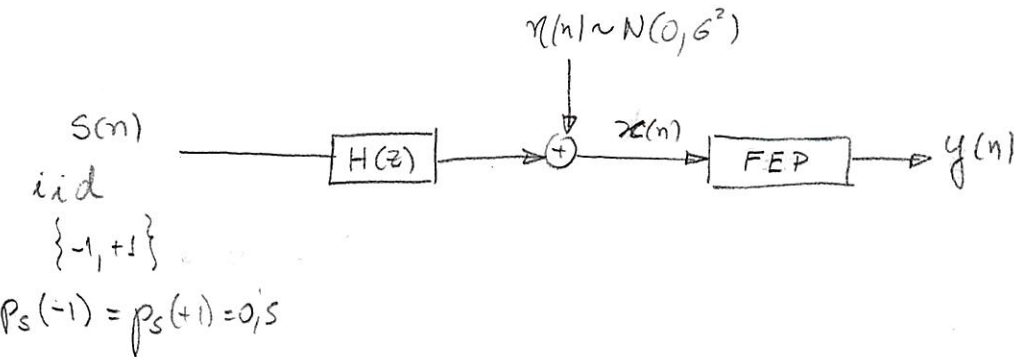
$$e_b(n) = x(n-L-M+1) - \hat{x}(n-L-M+1) = x(n-L-M+1) - \underline{w}_b^T \underline{x}(n)$$

Expandido o vetor  $\underline{x}(n)$  para  $\underline{x}(n) = [x(n) \ x(n-1) \ \dots \ x(n-L-M+1)]^T$ :

$$e_b(n) = \begin{bmatrix} -\underline{w}_b^T \underbrace{[0 \ 0 \ \dots \ 0]}_{L-1 \text{ zeros}} \ 1 \end{bmatrix} \underline{x}(n) = \underline{u}^T \underline{x}(n)$$

$$U(z) = -w_{b_0} - w_{b_1}z^{-1} - \dots - w_{b_{M-1}}z^{-M+1} + z^{-(L+M-1)} \quad \xrightarrow{\underline{x}(n)} \boxed{U(z)} \rightarrow e_b(n)$$

# Exemplo: Equalização de Canais de Comunicação



P/  $N=5$ :

$$\begin{aligned}x(n) &= h_0 s(n) + h_1 s(n-1) + h_2 s(n-2) + h_3 s(n-3) + h_4 s(n-4) + \eta(n) \\x(n-1) &= h_0 s(n-1) + h_1 s(n-2) + h_2 s(n-3) + h_3 s(n-4) + h_4 s(n-5) + \eta(n-1) \\x(n-2) &= h_0 s(n-2) + h_1 s(n-3) + h_2 s(n-4) + h_3 s(n-5) + h_4 s(n-6) + \eta(n-2) \\x(n-3) &= h_0 s(n-3) + h_1 s(n-4) + h_2 s(n-5) + h_3 s(n-6) + h_4 s(n-7) + \eta(n-3) \\x(n-4) &= h_0 s(n-4) + h_1 s(n-5) + h_2 s(n-6) + h_3 s(n-7) + h_4 s(n-8) + \eta(n-4) \\x(n-5) &= h_0 s(n-5) + h_1 s(n-6) + h_2 s(n-7) + h_3 s(n-8) + h_4 s(n-9) + \eta(n-5)\end{aligned}$$

## FEP Progressivo:

Passo 1 ( $L=1$ ) e  $M=2$ :  $e_f(n) = x(n) - w_{f0} x(n-1) - w_{f1} x(n-2)$

Ideialmente, se o FEP eliminar toda a redundância:  $e_f(n) = h_0 s(n) + \eta'(n)$

Passo 2 ( $L=2$ ) e  $M=2$ :  $e_f(n) = x(n) - w_{f0} x(n-2) - w_{f1} x(n-3) - w_{f2} x(n-4)$

Ideialmente:  $e_f(n) = h_0 s(n) + h_1 s(n-1) + \eta'(n)$

Passo 3 ( $L=3$ ) e  $M=2$ :  $e_f(n) = x(n) - w_{f0} x(n-3) - w_{f1} x(n-4) - w_{f2} x(n-5)$

Ideialmente:  $e_f(n) = h_0 s(n) + h_1 s(n-1) + h_2 s(n-2) + \eta'(n)$

Passo 4 ( $L=4$ ) e  $M=2$ :  $e_f(n) = x(n) - w_{f0} x(n-4) - w_{f1} x(n-5) - w_{f2} x(n-6)$

Ideialmente  $e_f(n) = h_0 s(n) + h_1 s(n-1) + h_2 s(n-2) + h_3 s(n-3) + \eta'(n)$

Generalizando, idealmente o erro de predição programada de passo L resulta em

$$e_f(n) = h_0 s(n) + h_1 s(n-1) + \dots + h_{L-1} s(n-L+1) + \eta'(n)$$

O FEP atua no sentido de manter a resposta ao impulso do canal, eliminando seus coeficientes finais.

### FEP Retrógrado:

- Passo unitário ( $L=1$ ) e  $M=2$ :  $e_b(n) = x(n-2) - w_{b_0}x(n) - w_{b_1}x(n-1)$

Idealmente:  $e_b(n) = h_1 s(n-6) + \eta'(n)$

- Passo 2 ( $L=2$ ) e  $M=2$ :  $e_b(n) = x(n-3) - w_{b_0}x(n) - w_{b_1}x(n-1)$

Idealmente:  $e_b(n) = h_3 s(n-6) + h_4 s(n-7) + \eta'(n)$

- Passo 3 ( $L=3$ ) e  $M=2$ :  $e_b(n) = x(n-4) - w_{b_0}x(n) - w_{b_1}x(n-1)$

Idealmente:  $e_b(n) = h_2 s(n-6) + h_3 s(n-7) + h_4 s(n-8) + \eta'(n)$

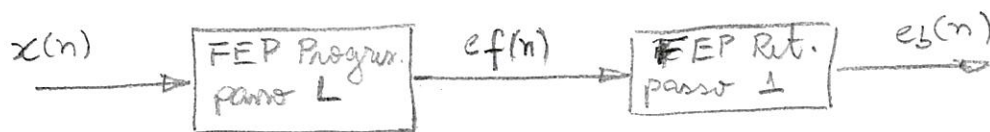
E assim por diante. Generalizando, temos

$$e_b(n) = h_{N-L} s(n-N-M+1) + \dots + h_{N-1} s(n-N-M-L+2) + \eta'(n)$$

Note que o FEP retrogrado atua no sentido de manter a resposta ao impulso do canal, eliminando seus coeficientes iniciais. Quanto maior o passo de predição, menos coeficientes são eliminados.

## Cascata de FEP's

1) FEP Progressivo de passo arbitrário seguido de FEP Retrógrado de passo unitário:



Predictor progressivo com  $M_f$  coeficientes e retrogrado de  $M_b$  coeficientes. Considerando o caso ideal, em que toda a redundância é removida, temos:

$$e_f(n) = h_0 s(n) + h_1 s(n-1) + \dots + h_{L-1} s(n-L+1) + \eta^f(n)$$

$$\vdots$$

$$e_f(n-M_b+1) = h_0 s(n-M_b+1) + h_1 s(n-M_b) + \dots + h_{L-1} s(n-M_b-L+2) + \eta^f(n-M_b+1)$$

$$e_f(n-M_b) = h_0 s(n-M_b) + h_1 s(n-M_b-1) + \dots + h_{L-1} s(n-M_b-L+1) + \eta^f(n-M_b)$$

O erro retrogrado é dado por:

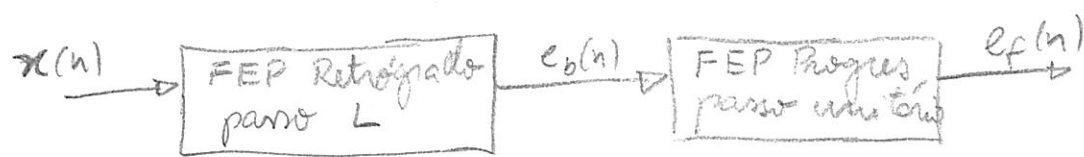
$$e_b(n) = e_f(n-M_b) - W_b^T \begin{bmatrix} e_f(n) \\ \vdots \\ e_f(n-M_b+1) \end{bmatrix}$$

Dessa forma, considerando que o FEP retrogrado elimina toda redundância entre  $e_f(n-M_b)$  e as entradas do preditor, temos

$$e_b(n) = h_{L-1} s(n-M_b-L+1) + \eta^f(n-M_b)$$

A cascata tende a recuperar o sinal  $s(n)$  multiplicado pelo coeficiente  $(-1)$  do canal e com um atraso  $(M_b+L-1)$ , ou seja, que depende do passo de predição progressiva e do número de coeficientes do preditor retrogrado.

2) FEP Retógrado de passo arbitrário seguido de FEP Progressivo de passo unitário.



Preditor retrogrado com  $M_b$  coeficientes e progressivo de  $M_f$  coeficientes. Novamente considerando o caso ideal, o erro retrogrado é dado por:

$$e_b(n) = h_{N-L} s(n-N-M_b+1) + \dots + h_{N-1} s(n-N-M_b-L+2) + \eta^1(n)$$

$$e_b(n-1) = h_{N-L} s(n-N-M_b) + \dots + h_{N-1} s(n-N-M_b-L+1) + \eta^1(n-1)$$

:

$$e_b(n-M_f) = h_{N-L} s(n-N-M_b-M_f+1) + \dots + h_{N-1} s(n-N-M_b-M_f-L+2) + \eta^1(n-M_f)$$

O erro de predição progressivo é obtido a partir da diferença entre  $e_b(n)$  e a combinação linear de  $e_b(n-1)$ ,  $e_b(n-2), \dots, e_b(n-M_f)$ . Assim, considerando que idealmente o FEP progressivo elimina todo a redemendação, temos que a saída da cascata é:

$$e_f(n) = h_{N-L} s(n-N-M_b+1) + \eta^1(n)$$

Neste caso, a cascata gera uma estimativa atrasada de  $s(n)$ , com fator de escala  $h_{N-L}$  e atraso  $(N+M_b-1)$ . Note que o atraso não depende do passo de predição da primeira etapa de cascata, como ocorre na cascata Progressiva-Retrogrado.